



تأثیر جریان چرخشی بر بازده انرژی یک کلکتور خورشیدی پارabolیک با جاذب بیضوی خاندار حاوی نانوسیال دو فازی غیرنیوتونی

مjtibi جمعیتی^۱

۱- استادیار گروه مهندسی مکانیک، واحد نراق، دانشگاه آزاد اسلامی، نراق، ایران
*صندوق پستی ۳۷۹۶۱/۵۸۷۱۹ نراق، ایران، ایمیل: drmjamiati@iau-naragh.ac.ir

| اطلاعات مقاله | چکیده |
|------------------------------|--|
| مقاله پژوهشی کامل | هدف اصلی پژوهش، بررسی تأثیر استفاده از سیستم جاذب بیضوی شکل با کنگره‌های هلیکال بر بازده انرژی کلکتورهای پارabolیک خطی است. بدین منظور بازده انرژی برای حالت‌های مختلف اندازه‌گیری و ارائه شده‌اند و در نهایت مدل‌های بهینه مختلف از نظر دارا بودن بیشترین بازده انرژی معرفی شده و در نهایت برترین مدل مشخص می‌شود. بر اساس نتایج بدست آمده بیشترین مقدار بازده انرژی در رینولدزهای مختلف، مربوط به کلکتور نوبن و مدل تک‌فازی می‌شود. بر اساس نتایج حاصله از این پایان‌نامه، استفاده از لوله شیاردار در افزایش بهره‌وری کلکتور تأثیر دارد. با افزایش تعداد شیارها از ۱ به ۳ راندمان کلکتور افزایش می‌یابد. در $N = 3$ حداکثر مقادیر η حاصل می‌شود. همچنین مشخص شد که با افزایش گام و دامنه شیار راندمان کلکتور افزایش می‌یابد. علاوه بر افزایش زاویه شیار از 10° تا 50° راندمان کلکتور افزایش می‌یابد و در $60^\circ \geq \xi =$ حداکثر مقادیر η حاصل می‌شود.اما با افزایش زاویه شیار از 50° تا 60° راندمان کلکتور کاهش می‌یابد. |
| دریافت: ۳ اردیبهشت ۱۳۹۹ | کلیدواژه‌گان کلکتور خورشیدی |
| پذیرش: ۳۱ مرداد ۱۳۹۹ | پارabolیک خطی |
| ارائه در سایت: ۳۱ مرداد ۱۳۹۹ | بهینه‌سازی انرژی |
| | تشعشع |
| | جابه‌جایی اجراری |
| | لوله خاندار |
| | لوله بیضوی |

Effects of rotational flow on energy efficiency of a novel parabolic through solar collector equipped with elliptical ribbed absorber tube filled with non-Newtonian two-phase nanofluid

Mojtaba Jamiati¹

1- Assistant professor Department of Mechanical Engineering, Naragh Branch, Islamic Azad University, Naragh, Iran
* P.O.B. 58719/37961 naragh, Iran, drmjamiati@iau-naragh.ac.ir

Article Information

Original Research Paper
Received 22 April 2020
Accepted 21 August 2020
Available Online 21 August 2020

Keywords

parabolic solar collector
Ribs
Nanofluid
Two-phase
Non-Newtonian

ABSTRACT

The main purpose of this study is to investigate the effect of using an elliptical absorber system with helical ribbed tube on the energy efficiency of linear parabolic collectors. For this purpose, energy efficiency has been measured and presented for different modes, and finally different optimal models are introduced in terms of having the highest energy efficiency, and finally the best model is determined. Based on the obtained results, the highest energy efficiency in different Reynolds is related to the new collector and single-phase model. According to the results of this dissertation, the use of grooved pipe has an effect on increasing the efficiency of the collector. As the number of grooves increases from 1 to 3, the collector efficiency increases. At $N = 3$ the maximum values of η are obtained. It was also found that the collector efficiency increases with increasing step and slope amplitude. In addition, by increasing the groove angle from 10° to 50° , the collector efficiency increases and the maximum value of η is obtained at $\xi =$

Please cite this article using:

Mojtaba Jamiati, Effects of rotational flow on energy efficiency of a novel parabolic through solar collector equipped with elliptical ribbed absorber tube filled with non-Newtonian two-phase nanofluid, *Journal of Mechanical Engineering and Vibration*, Vol. 11, No. 2, pp. 57-65, 2020 (In Persian)

برای ارجاع به این مقاله از عبارت ذیل استفاده نمایید:

60. However, by increasing the groove angle from 50 ° to 60 °, the collector efficiency decreases.

است و در از لوله جاذب بیضوی شکل با شیارهای هلیکال استفاده شده است که منجر به ایجاد جریان چرخشی با شتاب کوربولیس در جریان می‌شود. به منظور نشان دادن اثرات استفاده از لوله جاذب بیضوی شکل با شیارهای هلیکال، بازده انرژی کلکتور در شرایط مختلف محاسبه و گزارش شده‌اند در این بین از داده‌های تجربی موجود در پژوهش‌های پیشین استفاده شده است. در نهایت مدل‌های بهینه مختلف از نظر دارا بودن بیشترین بازده انرژی معروف شده و در نهایت برترین مدل مشخص می‌شود.

۳- پیشینه تحقیق

جباسینگ و هربت [۱] در سال ۲۰۱۶ در یک مطالعه مروری به بررسی کلکتورهای خورشیدی پارابولیک (سهمی) پرداختند. بنابرآهمنه و همکاران [۲] در سال ۲۰۱۷ در یک مطالعه عددی سه بعدی، بهبود عملکرد حرارتی کلکتورهای خورشیدی پارابولیک را با در نظر گرفتن مدل‌های تک فاز و دو فازی در نرمافزار انسیس- فلوئنت بررسی نمودند. نتایج کار ایشان نشان می‌دهد که استفاده از مدل دو فازی نسبت به مدل تک فاز، ضریب انتقال حرارت جابه‌جایی بیشتری را پیش‌بینی می‌کند.

بیکر و همکاران [۳] با انجام مطالعه عددی نشان دادند در صورتی که کلکتورها در شبیه بیشتر از عرض جغرافیایی محل قرار گیرند، با قرار دادن سطحی برای بازتاب تشعشع در پایین کلکتور عملکرد کلکتور در تابستان بهبود می‌یابد. چاندرا و همکاران [۴] در سال ۲۰۱۷ به صورت عددی عملکرد کلکتور خورشیدی پارابولیک طرح مبتنی بر خلاً و مبتنی بر هوا را مورد بررسی قرار دادند. در تحقیق جمشیدی و همکاران [۵] رشد اثرات افزایش نانوذرات SiO₂ بر روی ویسکوزیته گروهی از سیالات به صورت آزمایشگاهی در یک کلکتور خورشیدی مجهز به بازتابنده بررسی شده است. آزمایشات نشان می‌دهند که ویسکوزیته سیال پایه با اضافه نمودن نانوذرات افزایش می‌یابد.

انتقال حرارت اطراف یک مانع مربعی برای زوایای مختلف توسط دلهانی و همکاران [۲۶] مورد بررسی قرار گرفته است. نتیجه کار آن‌ها نشان داده است که با افزایش زاویه مانع، نرخ انتقال حرارت افزایش می‌یابد.

۱- مقدمه

سیستم‌های حرارتی خورشیدی شامل سیستم‌های می‌شود که بر پایه گردآورنده‌های حرارتی با دمای پایین عمل می‌نماید. این سیستم‌ها از منبع خورشیدی برای مصرف نهائی حرارتی استفاده می‌کنند. این سیستم‌ها خود شامل ۲ گروه کلکتورهای تخت و کلکتورهای متمرکز کننده می‌شوند. پوشش‌های خاصی به صفحات جذب کننده کلکتورها اعمال می‌گردد تا بازده سراسری کلکتورها را بهبود ببخشد. یک مایع حرارتی انرژی جذب شده را جمع می‌کند. چندین نوع از کلکتورهای خورشیدی برای گرم کردن مایع وجود دارد انتخاب یک کلکتور خورشیدی به دمای برنامه مورد نظر و زمان استفاده از آن بستگی دارد. این نوع کلکتورها در حالت عادی دارای پوشش‌های برگزیده بر روی صفحات جذب کننده نمی‌باشند و شامل هیچ قالب و عایقی در پشت خود نبوده و معمولاً به صورت ساده ای بر روی سقف یا یک صفحه چوبی نصب می‌گردد. این نوع از کلکتورهای ارزان قیمت قدرت خوبی در جذب انرژی خورشیدی دارند اما تلفات حرارتی به محیط زیست بویژه در مناطق طوفانی را به سرعت افزایش می‌دهند [۱].

سیستم‌های موجود در بازار از یک لوله گرمایی مهر و موم شده برای استخراج کردن گرما از صفحه جذب کننده استفاده می‌کنند. مایع در هنگام تماس با جذب کننده گرم شده تبخر می‌گردد، گرما از بالای لوله بازیافت شده در حالیکه بخار متراکم می‌گردد و بخار متراکم شده بوسیله جاذبه به جذب کننده بر می‌گردد. نتایج تجربی نشان می‌دهد که افزودن نانوذرات به سیال پایه باعث افزایش چشمگیر ضریب انتقال حرارت رسانش در نانوسیال می‌شود. بنابراین نانوسیال‌های گزینه‌های مناسبی برای استفاده در کاربردهای انتقال حرارت به شمار می‌روند.

۲- بیان مساله

مشخص شده است که به منظور بهبود عملکرد کلکتورهای خورشیدی می‌توان با استفاده از روش‌های نوین نظری استفاده از سطوح کنگره‌دار یا شیاردار عملکرد و بازده کلکتور را بهبود داد. در کار حاضر از یک طرح نوین برای استفاده از سیستم تکسیاله استفاده شده است؛ به این صورت که تمامی فضای بین کاورشیشه‌ای و جاذب وکیوم

دوان و مازیچکا [۱۴] به صورت عددی کنگره‌دار شدن محوری میکروتیوب‌ها را بر جریان آرام توسعه یافته بررسی کردند. نتایج آن‌ها افزایش قابل توجه افت فشار را به دلیل کنگره‌دار شدن میکروتیوب نشان داد.

در مطالعه‌ای دیگر ژانگ و چه [۱۵] به صورت عددی و سه‌بعدی انتقال حرارت و جریان سیال را در کانال‌های کنگره‌دار مقطعی با در نظر گرفتن هشت مدل آشفتگی مختلف بررسی نمودند.

اسریکنت و همکاران [۱۶] تحقیقاتی را روی جریان و انتقال حرارت در اطراف یک مانع مثلثی که درون یک کانال افقی قرار دارد انجام داده‌اند. آن‌ها دریافتند که بیشترین تجمع دمایی در سطوح بالا و پایین مانع مثلثی اتفاق می‌افتد. انتقال حرارت اطراف یک مانع مربعی برای زوایای مختلف توسط دلهانی و همکاران [۱۷] مورد بررسی قرار گرفته است. نتیجه کار آن‌ها نشان داده است که با افزایش زاویه مانع، نرخ انتقال حرارت افزایش می‌یابد. دینامیک سیالات و انتقال حرارت اجباری برای مقاطع شبه دایره‌ای توسط بهیندر و همکاران [۱۸] مورد بررسی قرار گرفته است. آن‌ها نشان داده‌اند که انحنای خطوط جریان با افزایش زاویه برحورد زیاد خواهد شد. جریان سیال و انتقال حرارت پشت یک مانع مربعی توسط دهیمانا و همکاران [۱۹] بررسی شده است.

جریان نانو سیال و انتقال حرارت اطراف یک مانع مربعی توسط اطمینان، فروجی و همکاران [۲۰] مورد بررسی قرار گرفته است. آن‌ها دریافتند که نرخ انتقال حرارت با افزایش قطر نانو ذرات، کاهش می‌یابد.

۴- روش اجرای تحقیق

در شکل (۱)، نمای شماتیک کلکتور خورشیدی پارابولیک خطی مجهر به لوله جاذب بیضوی شکل با کنگره‌های هلیکال نشان داده شده است. جدول (۱)، مشخصات هندسی، ترموفیزیکی و اپتیکی کلکتور خورشیدی مدل سازی شده را نشان می‌دهد.

انرژی مفید کسب شده توسط کلکتور بر حسب مقدار تشعشع خورشیدی ورودی و تلفات حرارتی از بدنه کلکتور عبارت است از:

$$Q_{u,c} = A_c \left[S - U_L (T_{pm} - T_a) \right] \quad (1)$$

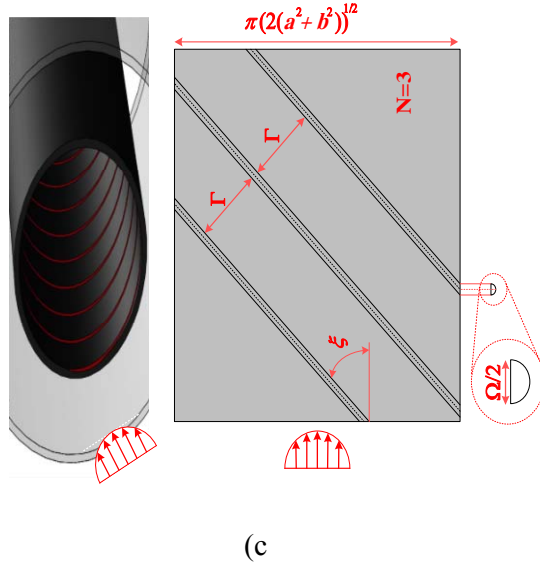
برخی مطالعات عددی و تجربی بر روی جریان سیال و انتقال حرارت داخل کانال‌های موج‌دار توسط بسیاری از محققان صورت گرفته است. راش و همکاران [۷] رفتار جریان و انتقال حرارت محلی در معابر موج‌دار سینوسی را برای نواحی رژیم جریان آرام و نیز ناحیه گذار بررسی کردند. مشاهده شد که هر دو مورد عدد رینولدز و هندسه کانال تأثیر قابل توجهی بر وضعیت اختلاط و مشخصه‌های جریان دارند. العوادی [۸] یک تحقیق عددی روی جریان انتقال حرارت جابجایی اجباری هوا در یک کانال موج‌دار انجام داد. در کار وی دیواره‌های کانال در یک دمای یکنواخت نگهداری شدند و عدد رینولدز بین ۱۲۵ تا ۱۰۰۰ در نظر گرفته شد. نتایج نشان دادند که افزایش خطی موج‌دار بودن در منطقه ورودی کانال به شکل قابل توجهی افت فشار را کاهش داده و عدد ناسلت متوسط را اندکی افزایش می‌دهد.

نیکرو و نوبیل [۹] پارامترهای حرارتی و هیدرولیکی را در یک جریان هوای آرام پایا و گذرا (وابسته به زمان) برای یک مدل کانال دو بعدی موج‌دار متناسب، به صورت عددی آنالیز کردند. مشاهده شد که در یک رژیم گذرا، ماورای اعداد رینولدز بحرانی انتقال حرارت قابل توجهی رخ می‌دهد. باهایدارا و همکاران [۱۰] به صورت عددی یک تحقیق دو بعدی را به منظور مشخص نمودن جریان سیال و انتقال حرارت در یک معبر موج‌دار متناسب با استفاده از روش حجم محدود ارزیابی کردند.

ین و همکاران [۱۱] به صورت عددی تحقیقاتی روی پارامترهای حرارتی- هیدرولیکی هوا در کانال‌های موج‌دار سینوسی برای شیفت فازهای مختلف بین دیواره‌های بالایی و پایینی انجام دادند. نتایج نشان داد در حالی که شیفت فازها زیاد می‌شوند، ضریب اصطکاک و عدد ناسلت کاهش می‌یابند.

آساتو و دلموس [۱۲] عملکرد مدل‌های گردابه- ویسکوز خطی و غیر خطی را به منظور پیش‌بینی جریان آشفته در کانال‌های موج‌دار سینوسی متناسب، به صورت عددی بررسی کردند. نتیجه‌گیری‌ها نشان داد که با استفاده از مدل غیر خطی برای رفتار دیواره‌ها و اعداد رینولدز بالا، حتی در صورت استفاده از شبکه‌بندی درشت و ضریب تخفیف‌های بالا، به شکلی ساده‌تر نتایج محکم‌تری به دست می‌آیند.

کومینی و همکاران [۱۳] مشخصه‌های جریان و انتقال حرارت را در داخل یک کانال موج‌دار سه‌بعدی بررسی کردند. آن‌ها دریافتند با کاهش ضریب منظر، عدد ناسلت و ضریب اصطکاک افزایش می‌یابند.



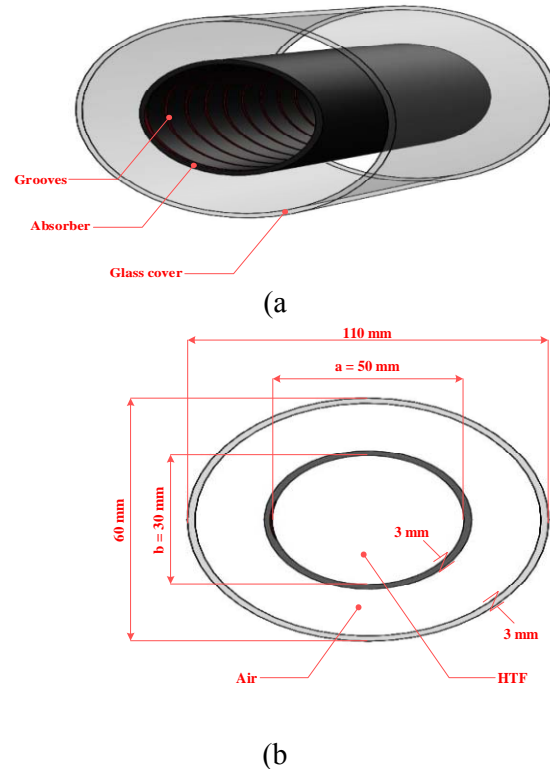
شکل ۱ نمای شماتیک و شرایط مزی هندسه کلکتور خورشیدی پارابولیک خطی مجهز به لوله جاذب خان دار بیضوی

جدول ۱ مشخصات هندسی، ترموفیزیکی و اپتیکی کلکتور

| مشخصات | مورد |
|------------------------------|--|
| صفحه تحت مجهر به سینک حرارتی | نوع کلکتور |
| آلومینیوم | جنس صفحه |
| رنگ سیاه مات | جنس پوشش صفحه |
| ۰/۰۰۱ mm | ضخامت صفحه |
| ۰/۹ | ضریب صدور صفحه (ε_p) |
| ۲۱۱ W / m · K | ضریب هدایت حرارتی صفحه (k_p) |
| ۲ m | طول کلکتور |
| ۳۵ درجه | شیب قرارگیری کلکتور (β) |
| یک | تعداد پوشش شیشه‌ای |
| ۰/۸۵ | ضریب صدور پوشش شیشه‌ای |
| ۵ cm | قطر هیدرولیکی لوله |
| ۰/۶۸ | بازده اپتیکی (η_0) |
| ۰/۰۵ W / m · K | ضریب هدایت حرارتی عایقها (k_i) |
| ۴۲۰۰ J / kg · K | ظرفیت گرمایی ویژه (C_p) سیال عامل (آب) |

در رابطه فوق، A_c سطح جاذب کلکتور، T_a دمای محیط و T_{pm} دمای متوسطه صفحه جاذب است. لازم به ذکر است دمای صفحه جاذب مقدار ثابتی نیست و در نظر گرفتن دمای متوسط برای آن کاملاً یک مفهوم مجازی است. در رابطه فوق Δ بخشی از تشعشع خورشیدی بر واحد سطح جاذب کلکتور است که توسط آن جذب می شود و از رابطه زیر به دست می آید [۲۱-۲۲]:

$$S = \eta_0 \cdot I_T \quad (2)$$



متفاوت باشد که این روش تأکیدی بر یکسان بودن آن‌ها ندارد. قدم کلیدی در روش حجم کنترل انتگرال‌گیری از معادلات دیفرانسیل بر روی هر یک از حجم‌های کنترل است.

بدیهی است که برای شبیه‌سازی یک جریان به وسیله دینامیک سیالات محاسباتی ابتدا باید دامنه محاسباتی تولید گردد. از آنجا که نرم‌افزار فلوئنت تنها یک نرم‌افزار محاسباتی می‌باشد، لازم است از نرم‌افزارهای پشتیبانی کننده آن استفاده کرد. از جمله این نرم‌افزارهای پشتیبانی کننده می‌توان ADMESH, ICEM, GAMBIT, CEI, ANSYS, NASTRAN, ANGENER, CFD, PREBFC و FIDAP را نام برد. نرم‌افزار گمبیت بهترین انتخاب برای ساختن فایل‌های ورودی فلوئنت می‌باشد. هندسه و شبکه را می‌توان توسط نرم‌افزار پیش‌پردازنده گمبیت تولید کرد. نرم‌افزار گمبیت قادر به تولید انواع شبکه‌بندی (مش‌های چهار ضلعی، مثلثی، مش‌های حجمی چهار وجهی و شش وجهی) بوده و در آن می‌توان شرایط مرزی را نیز مشخص نمود [۲۰-۱۷].

آزمون استقلال نتایج از شبکه‌بندی برای کلکتور حاوی سیال آب برای تجزیه و تحلیل اثرات ابعاد شبکه‌بندی بر نتایج انجام گرفته است. مطابق جدول (۲)، شش حالت شبکه‌بندی دارای تعداد گره‌های ۴۵۶,۲۱۸، ۴۵۶,۲۱۸، ۸۶۲,۲۲۸، ۱,۳۸۷,۱۲۹، ۲,۱۹۸,۲۸۸ و ۲,۸۲۷,۳۲۹ برای مدل حاوی سیال آب در نظر گرفته شده است. با مقایسه چهار حالت فوق، شبکه‌بندی با تعداد گره ۲,۸۲۷,۳۲۹ به عنوان شبکه‌بندی قابل قبول هم از نظر دقت و هم از نظر صرفه جویی در زمان حل انتخاب شد.

اعتبارسنجی برنامه کامپیوتری بر اساس هندسه و شرایط مرزی تحقیق دولی و همکاران [۹۵] انجام شده است. آن‌ها به صورت عددی عملکرد انتقال حرارت و جابجایی اجباری جریان نانوسیال در داخل یک کلکتور خورشیدی پارabolیک خطی را به صورت عددی را مورد بررسی قرار دارند. با مقایسه نتایج کار حاضر و مرجع [۲۳] در مورد بازده انرژی از کلکتور، مطابق شکل (۲) انطباق خوب جواب‌ها با حذاکثر خطای ۸/۲۷۶ درصد مشاهده می‌شود.

جدول ۲ آزمون استقلال حل از شبکه

| No. | Nodes | T_{out} (°C) | Error (%) |
|-----|-----------|-------------------|--------------|
| 1 | 456,218 | 84.8126 | 15.51 |
| 2 | 862,228 | 71.1870 | 6.27 |
| 3 | 1,387,129 | 66.0173 | 9.27 |
| 4 | 2,198,288 | 60.2376 | 3.96 |

$$S = \eta_0 \cdot I_T \quad (2)$$

همچنین I_T شار تشعشع خورشیدی (میانگین ساعتی روزانه) وارد شده به کلکتور و η_0 بازده اپتیکی است. بازده اپتیکی برابر حاصلضرب مؤثر عبور- جذب است از رابطه زیر به دست می‌آید : [۲۱-۲۲]

$$\eta_0 = (\tau\alpha) = 1.01\tau \cdot \alpha \quad (3)$$

$$\text{همچنین } I_T \text{ از رابطه زیر محاسبه می‌شود:} \\ I_T = I_b R_b + I_d \left[\frac{1+\cos\beta}{2} \right] + I \cdot \rho_{gr} \left[\frac{1-\cos\beta}{2} \right] \quad (4)$$

در رابطه فوق، I_d ، I_b و I به ترتیب تشعشع خورشیدی روی سطح افقی، تشعشع مستقیم خورشیدی و تشعشع پخشی R_b هستند. همچنین R_b نسبت تشعشع مستقیم خورشیدی ورودی روی سطح افقی به تشعشع مستقیم روی سطح زاویه دار است و از رابطه (۵) محاسبه می‌شود:

$$R_b = \frac{\cos(\varphi - \beta) \cos \delta \cos(\omega) + \sin(\varphi - \beta) \sin \delta}{\cos \varphi \cos \delta \cos \omega + \sin \varphi \sin \delta} \quad (5)$$

در رابطه فوق، φ عرض جغرافیایی محل، θ زاویه انحراف خورشیدی U_L و ω زاویه ساعت ۵ است [۳۵-۳۷].

منظور از U_L در رابطه (۱) افت کلی از کلکتور است و از رابطه زیر محاسبه می‌شود:

$$U_L = U_t + U_b + U_e \quad (6)$$

در رابطه فوق، U_t افت از سمت بالای صفحه جاذب بر محیط، U_b افت از پشت کلکتور و U_e افت از کناره‌هاست. روشی که نرم‌افزار فلوئنت برای حل معادلات بقا در نظر گرفته است، روش حجم محدود می‌باشد. در این روش میدان محاسباتی به تعدادی حجم کنترل که هر کدام یک گره را احاطه می‌نمایند تقسیم می‌شود. ابعاد حجم‌های کنترل می‌تواند

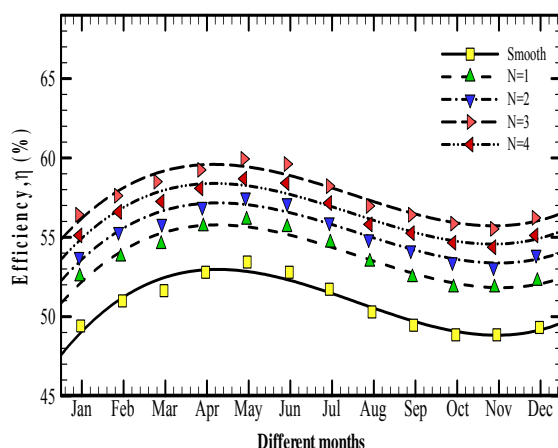
¹. beam

². diffuse beam

³.latitude

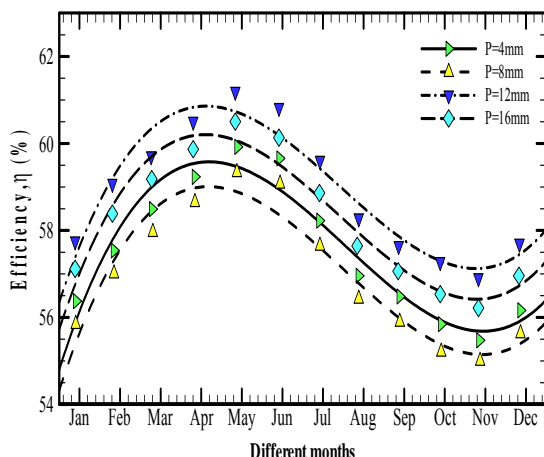
⁴.declination angle

⁵.hour angle



شکل ۳ نمودار تغییرات بازده انرژی کلکتور خورشیدی پارabolیک خطی نوبن در تعداد ردیف شیارهای مختلف بر حسب شرایط محیطی در ماههای مختلف سال

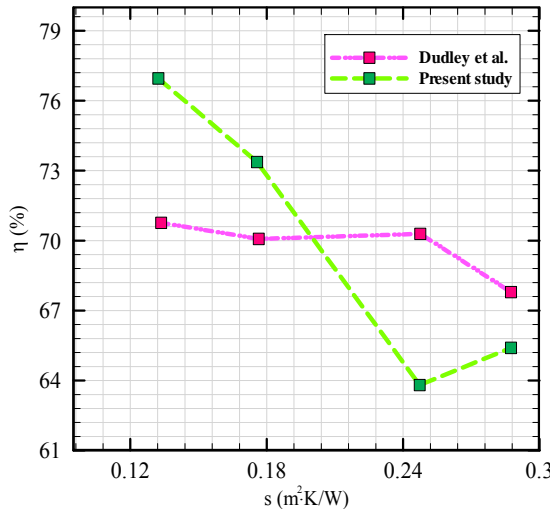
شکل (۴) نمودار تغییرات بازده انرژی کلکتور خورشیدی پارabolیک خطی نوبن در گام شیارهای مختلف بر حسب شرایط محیطی در ماههای مختلف سال را نشان می‌دهد. همانطور که در شکل مشاهده می‌شود، با افزایش گام شیار از ۴ mm به ۸ mm راندمان کلکتور افزایش می‌یابد. در $P = 12\text{mm}$ حداقل مقدار $N = 16$ به دست می‌آید. اما با افزایش گام شیار از ۱۲ mm به ۱۶ mm راندمان کلکتور کاهش می‌یابد. در مورد $P = 4\text{mm}$ ، توان افت فشار به شدت روی راندمان کلکتور تأثیر می‌گذارد. به همین دلیل است که بازده انرژی برای هندسه $P = 8\text{mm}$ کمتر از $P = 12\text{mm}$ است. بنابراین، یک گام شیار بهینه برای لوله وجود دارد. در نتیجه، گام شیار 12mm برای باقی مطالعات در نظر گرفته می‌شود.



| | | | |
|---|-----------|---------|------|
| 5 | 2,827,329 | 58.3298 | 0.03 |
| 6 | 3,018,123 | 58.3109 | - |

۵- تجزیه و تحلیل نتایج

شکل (۳) نمودار تغییرات بازده انرژی کلکتور خورشیدی پارabolیک خطی نوبن در تعداد ردیف شیارهای مختلف بر حسب شرایط محیطی در ماههای مختلف سال را نشان می‌دهد. همانطور که در شکل مشاهده می‌شود، با افزایش تعداد شیارها از ۱ به ۳ راندمان کلکتور افزایش می‌یابد. در $N = 3$ حداقل مقدار ۱۴,۳٪ بیشتر از مدل مرجع. اما با افزایش تعداد شیار از ۳ به ۴ راندمان کلکتور کاهش می‌یابد. در مورد $N = 3$ ، توان افت فشار به شدت بر کارایی کلکتور تأثیر می‌گذارد. به همین دلیل است که بازده انرژی برای هندسه $N = 4$ کمتر از این مقدار برای هندسه $N = 3$ است. بنابراین، استفاده از لوله شیاردار داخلی مناسب است. برای لوله جاذب، یک تعداد شیار بهینه وجود دارد، در نتیجه تعداد شیار $N = 3$ برای بقیه مطالعات در نظر گرفته می‌شود.



شکل ۲ مقایسه نتایج کار حاضر و مرجع [۲۴] در مورد دمای خروجی

در حقیقت این شکل، تأثیر زوایای مختلف لوله شیاردار در جاذب داخلی بر بازده جاذبهای دو سیاله در طی ماههای مختلف را با همان نرخ دبی جرمی نشان می‌دهد. همانطور که در شکل مشاهده می‌شود، با افزایش زوایه شیار از ${}^{\circ} 10$ تا ${}^{\circ} 50$ راندمان کلکتور افزایش می‌یابد و در $\approx 60^{\circ}$ حداقل مقدار η حاصل می‌شود. اما با افزایش زوایه شیار از ${}^{\circ} 50$ تا ${}^{\circ} 60$ راندمان کلکتور کاهش می‌یابد.

در مورد 60° ، توان افت فشار به شدت بر راندمان کلکتور تأثیر می‌گذارد. به همین دلیل است که، بازده انرژی برای هندسه 60° $q=0.9$ کمتر از سایر موارد است. بنابراین، یک زوایه شیار بهینه برای لوله وجود دارد؛ در نتیجه، زوایه شیار ${}^{\circ} 50$ برای بقیه مطالعات در نظر گرفته می‌شود.

$a=12\text{mm}$, $P=3\text{N}$, $N=12\text{mm}$ سرانجام، کلکتور شیاردار داخلی با $q=0.9\text{mm}$ و 50° به عنوان بیشترین بازده مدل شیاردار داخلی که حاوی سیال پایه است، معرفی می‌شود.

شکل (۷) نمودار تغییرات بازده انرژی کلکتور خورشیدی پارابولیک خطی نوین بهینه در کسرهای حجمی مختلف نانوسیال بر حسب شرایط محیطی در ماههای مختلف سال را نشان می‌دهد. در حقیقت این شکل، متراکم‌سازی جاذب مرجع، جاذب دو سیاله مرجع، هندسه بهینه هر بخش و ترکیبی از آنها، در طی ماههای مختلف را با نرخ دبی جرمی یکسان نشان می‌دهد.

همانطور که در شکل مشاهده می‌شود، استفاده از نانوسیال باعث افزایش بازده انرژی کلکتور می‌شود؛ در صورت استفاده از نانوسیالی با کسر حجمی از $4\% = \phi$ ، بیشترین بازده انرژی $\phi = 3\%$ ، $\phi = 1\%$ ، $2\% = \phi$ قرار دارند. در مورد $4\% = \phi$ ، راندمان کلکتور حدوداً برابر با مقدار 22.2% مربوط به کانال صاف حاوی نانوسیال است و برابر با مقدار 93.2% مربوط به کانال صاف حاوی سیال پایه است.

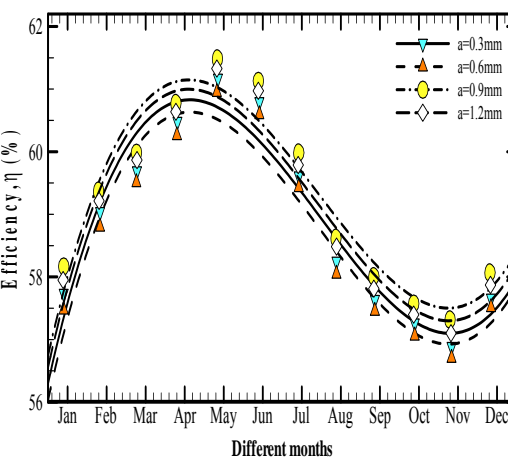
شکل ۴ نمودار تغییرات بازده انرژی کلکتور خورشیدی پارابولیک خطی نوین در گام شیارهای مختلف بر حسب شرایط محیطی در ماههای مختلف سال

شکل (۵) نمودار تغییرات بازده انرژی کلکتور خورشیدی پارابولیک خطی نوین در دامنه شیارهای مختلف بر حسب شرایط محیطی در ماههای مختلف سال را نشان می‌دهد. در حقیقت این شکل، اثرات دامنه‌های مختلف شیار لوله جاذب شیاردار داخلی را بر بازده جاذبهای دو سیاله، در طی ماههای مختلف با سرعت جریان یکسان نشان می‌دهد.

همانطور که در این شکل مشاهده می‌شود، با افزایش دامنه شیار از $9/0\text{ mm}$ به $3/0\text{ mm}$ راندمان کلکتور افزایش می‌یابد. در دامنه $9/0\text{ mm}$ حداقل مقدار η حاصل می‌شود. اما با افزایش دامنه شیار از $9/0\text{ mm}$ به $2/1\text{ mm}$ راندمان کلکتور کاهش می‌یابد.

در مورد $1.2 = a$ ، توان افت فشار به شدت بر بازده کلکتور تأثیر می‌گذارد. به همین دلیل است که، بازده انرژی برای هندسه $a=1.2\text{ mm}$ کمتر از این مقدار برای $a=0.9\text{ mm}$ است. بنابراین، یک دامنه شیار بهینه برای لوله وجود دارد. در نتیجه $a=0.9$ = دامنه‌ای است که برای بقیه مطالعات در نظر گرفته می‌شود.

شکل (۶) نمودار تغییرات بازده انرژی کلکتور خورشیدی پارابولیک خطی نوین در زوایه شیارهای مختلف بر حسب شرایط محیطی در ماههای مختلف سال را نشان می‌دهد.

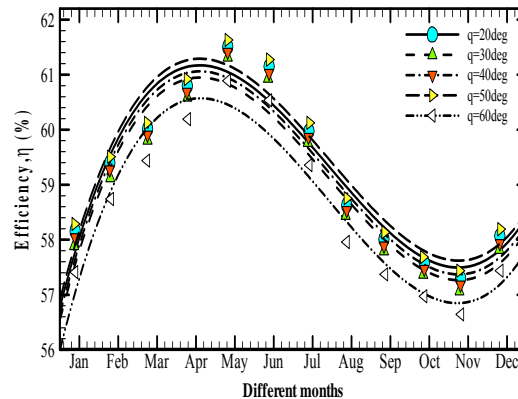


شکل ۵ نمودار تغییرات بازده انرژی کلکتور خورشیدی پارابولیک خطی نوین در دامنه شیارهای مختلف بر حسب شرایط محیطی در ماههای مختلف سال

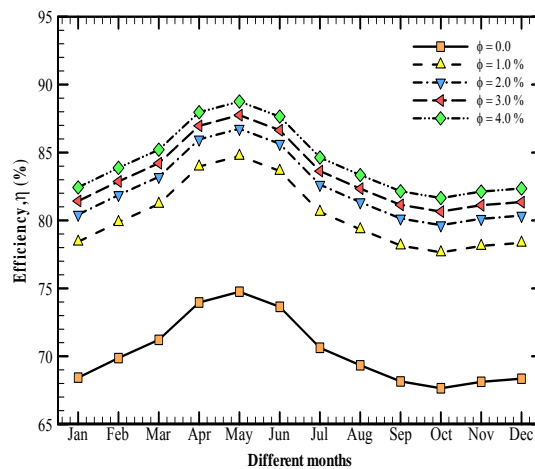
4mm توان افت فشار به شدت روی راندمان کلکتور تأثیر می‌گذارد. بازده انرژی برای هندسه $P=8\text{mm}$ کمتر از $P=12\text{mm}$ است. بنابراین، یک گام شیار بهینه برای لوله وجود دارد. با افزایش دامنه شیار از 3/0 mm به 9/0 mm راندمان کلکتور افزایش می‌یابد. در دامنه 9/0 mm حداکثر مقدار η حاصل می‌شود. اما با افزایش دامنه شیار از 9/0 mm به 2/1 mm می‌شود. اما با افزایش دامنه شیار از 9/0 mm به $a=1.2$ راندمان کلکتور کاهش می‌یابد. بازده انرژی برای هندسه $a=0.9\text{mm}$ کمتر از این مقدار برای $a=0.9\text{mm}$ است. بنابراین، یک دامنه شیار بهینه برای لوله وجود دارد. با افزایش زاویه شیار از 5° تا 50° راندمان کلکتور افزایش می‌یابد و در 60° حداکثر مقدار η حاصل می‌شود. اما با افزایش زاویه شیار از 50° تا 60° راندمان کلکتور کاهش می‌یابد. در مورد $q=60^{\circ}$ ، $a=0.9\text{mm}$ ، $P=12\text{mm}$ و $N=3$ ، افت فشار به شدت بر راندمان کلکتور تأثیر می‌گذارد. بازده انرژی برای هندسه $q=60^{\circ}$ کمتر از سایر موارد است. بنابراین، یک زاویه شیار بهینه برای لوله وجود دارد؛ در نتیجه، زاویه شیار 50° برای بقیه مطالعات در نظر گرفته می‌شود. کلکتور شیاردار داخلی با $q=50^{\circ}$ ، $a=0.9\text{mm}$ ، $P=12\text{mm}$ و $N=3$ به عنوان بیشترین بازده مدل شیاردار داخلی که حاوی سیال پایه است، معروفی می‌شود. استفاده از نانوسیال باعث افزایش بازده انرژی کلکتور می‌شود؛ در صورت استفاده از نانوسیالی با کسر حجمی از $\phi = 4\%$ ، بیشترین بازده انرژی حاصل می‌شود. در جایگاه‌های بعدی به ترتیب $\phi = 3\%$ ، $\phi = 2\%$ ، $\phi = 1\%$ و $\phi = 0.0$ قرار دارند در مورد $\phi = 4\%$ ، راندمان کلکتور حدوداً برابر با مقدار ۲۲٪ مربوط به کanal صاف حاوی نانوسیال است و برابر با مقدار ۹۳٪ مربوط به کanal صاف حاوی سیال پایه است.

۷- مراجع

- [1] Jebasingh, V.K., Joselin-Herbert, G.M., A review of solar parabolic trough collector, Renewable and Sustainable Energy Reviews, Vol. 54, pp. 1085-1091, 2016.
- [2] Benabderrahmane, A., Benazza, A., Laouedj, S., Solano, J.P., Numerical analysis of compound heat transfer enhancement by single and two-phase models in parabolic trough solar receiver, Mechanika, Vol. 23, No. 1, pp. 55-61, 2017.
- [3] Baker, S., MDaniels, D.K., Kaehn, H.D., Lowndes, D.H., "Time Integrated Calculation of the Insolation Collected by a Reflector-collector System" Solar energy, Vol. 20, No. 5, pp. 415-417, 1978.
- [4] Mahanta, D.K., Kumar, S.S., "Internal Irreversibility in a Water Heating Solar Flat Plate Collector" Energy Conversion and Management, Vol. 43, No. 17, pp. 2425-2435, 2002.
- [5] N. Jamshidi, M. Farhadi, D. D. Ganji and K. Sedighi, Experimental Investigation On The Viscosity Of



شکل ۶ نمودار تغییرات بازده انرژی کلکتور خورشیدی پارabolیک خطی نوین در زاویه شیارهای مختلف بر حسب شرایط محیطی در ماههای مختلف سال



شکل ۷ نمودار تغییرات بازده انرژی کلکتور خورشیدی پارabolیک خطی نوین بهینه در کسرهای حجمی مختلف نانوسیال بر حسب شرایط محیطی در ماههای مختلف سال

۶- نتیجه‌گیری

استفاده از لوله شیاردار در افزایش بهره‌وری کلکتور تأثیر دارد. با افزایش تعداد شیارها از ۱ به ۳ راندمان کلکتور افزایش می‌یابد. در $N=3$ حداکثر مقادیر η حاصل می‌شود. بازده انرژی برای هندسه $N=4$ کمتر از این مقدار برای هندسه $N=3$ است. بنابراین، استفاده از لوله شیاردار داخلی مناسب است. برای لوله جاذب، یک تعداد شیار بهینه وجود دارد. با افزایش گام شیار از $P=12\text{mm}$ به 8mm ۴ به دست می‌یابد. در $P=8\text{mm}$ حداکثر مقدار η به دست می‌آید. اما با افزایش گام شیار از $P=12\text{mm}$ به 16mm راندمان کلکتور کاهش می‌یابد. در مورد $P=16\text{mm}$

- [23] Dudley, V., Kolb, G., Sloan, M., Kearney, D., SEGS LS2 Solar Collector Test Results, Report of Sandia National Laboratories, Report No. 94-1884, 1994.
- [24] Abolfazli J, Esfahani Vaselbehagh AR, 2012. "LB simulation of heat transfer in flow past a square unit of four isothermal cylinders". CR Mec 2012; 340:526-35.
- [2] S. G. Tuttle, S. Chaudhuri, K. M. Kopp-Vaughan, T. R. Jensen, B. M. Cetegen, M. W. Renfro, J. M. Cohen, Lean blowoff behavior of asymmetrically-fueled bluff body-stabilized flames, *Combustion and Flame*, Vol. 160, No. 9, pp. 1677-1692, 2013.
- Nanofluids, IJE TRANSACTIONS B: Applications Vol. 25, No. 3 (August 2012) 201-210.
- [6] Ali M, Zeitoun O, Nuhait A, 2011. "Forced convection heat transfer over horizontal triangular cylinder in cross flow". Int J Therm Sci 2011;50:106-14.
- [7] T.A. Rush, T.A. Newell, A.M. Jacobi, An experimental study of flow and heat transfer in sinusoidal wavy passage, International Journal of Heat and Mass Transfer 42 (1999) 1541-1553.
- [8] E.M. Alawadhi, Forced convection flow in a wavy channel with a linearly increasing waviness at the entrance region, Journal of Heat Transfer 131 (2009) 1-7.
- [9] B. Ničeno, E. Nobile, Numerical analysis of fluid flow and heat transfer in periodic wavy channels, International Journal of Heat and Fluid Flow 22 (2001) 156-167.
- [10] H.M.S. Bahaidarah, N.K. Anand, H.C. Chen, Numerical study of heat and momentum transfer in channels with wavy walls, Numerical Heat Transfer, Part A 47 (2005) 417-439.
- [11] J. Yin, G. Yang, Y. Li, The Effects of Wavy Plate Phase Shift on Flow and Heat Transfer Characteristics in Corrugated Channel, Energy Procedia 14 (2012) 1566-1573.
- [12] M. Assato, M.J.S. de Lemos, Turbulent flow in wavy channels simulated with nonlinear models and a new implicit formulation, Numerical Heat Transfer, Part A 56 (2009) 301-324.
- [13] G. Comini, C. Nonino, S. Savino, Effect of aspect ratio on convection enhancement in wavy channels, Numerical Heat Transfer, Part A 44 (2003) 21-37.
- [14] Z. Duan, Y.S. Muzychka, Effects of axial corrugated roughness on low Reynolds number slip flow and continuum flow in micro-tubes, Journal of Heat Transfer 132 (2010) 1-8.
- [15] L. Zhang, D. Che, Turbulence models for fluid flow and heat transfer between cross-corrugated plates, Numerical Heat Transfer, Part A 60 (2011) 410-440.
- [16] Srikanth S, Dhiman AK, Bijjam S, 2010. "Confined flow and heat transfer across a triangular cylinder in a channel". Int J Therm Sci 2010 ;49:2191-200.
- [17] Dulhani JP, Sarkar S, Dalal A, 2014. "Effect of angle of incidence on mix convective wake dynamics and heat transfer past a square cylinder in cross flow at Re=100". Int J Heat Mass Transf 2014;74:319-32.
- [18] Bhinder APS, Sarkar S, Dalal A, 2012. "Flow over and forced convection heat transfer around a semi-circular cylinder at incidence". Int J Heat Mass Transf 2012;55:5171-84.
- [19] Dhiman AK, Chhabraa RP, Eswaran V, 2005. "Flow and heat transfer across a confined square cylinder in the steady flow regime: effect of Peclet number". Int J Heat Mass Transf 2005;48:4598-614.
- [20] Etminan-Farooqi V, Ebrahimnia-Bajestan E, Niazmand H, Wongwises S, 2012. "Unconfined laminar nanofluid flow and heat transfe around a squarer cylinder". Int J Heat Mass Transf 2012;55:1475-85.
- [21] A.J. Abdulhamed, et. all, Review of solar parabolic-trough collector geometrical and thermal analyses, performance, and applications, Renewable and Sustainable Energy Reviews 91 (2018) 822-831.
- [22] B. H. Upadhyay, et. all, A detailed review on solar parabolic trough collector, International Journal of Ambient Energy (2019) 942-946. DOI: 10.1080/01430750.2019.1636869